

図 5.9 シナリオ妥当性評価結果 (H-3)

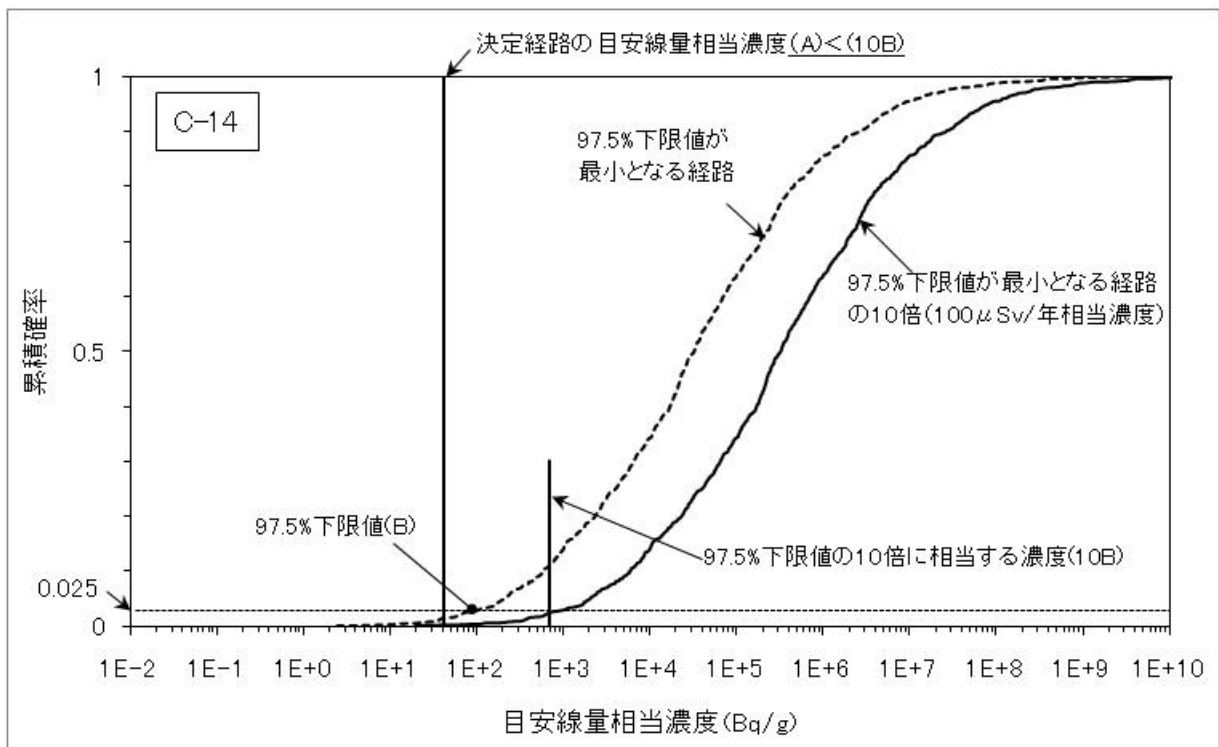


図 5.10 シナリオ妥当性評価結果 (C-14)

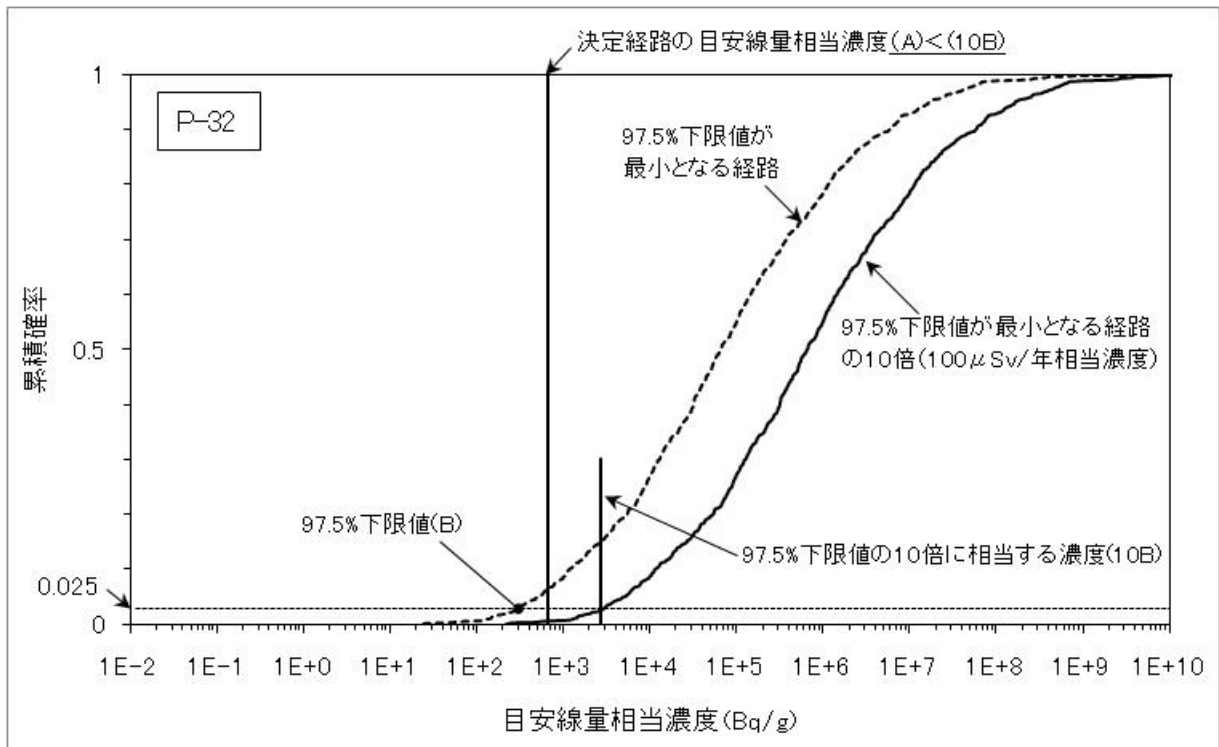


図 5.11 シナリオ妥当性評価結果 (P-32)

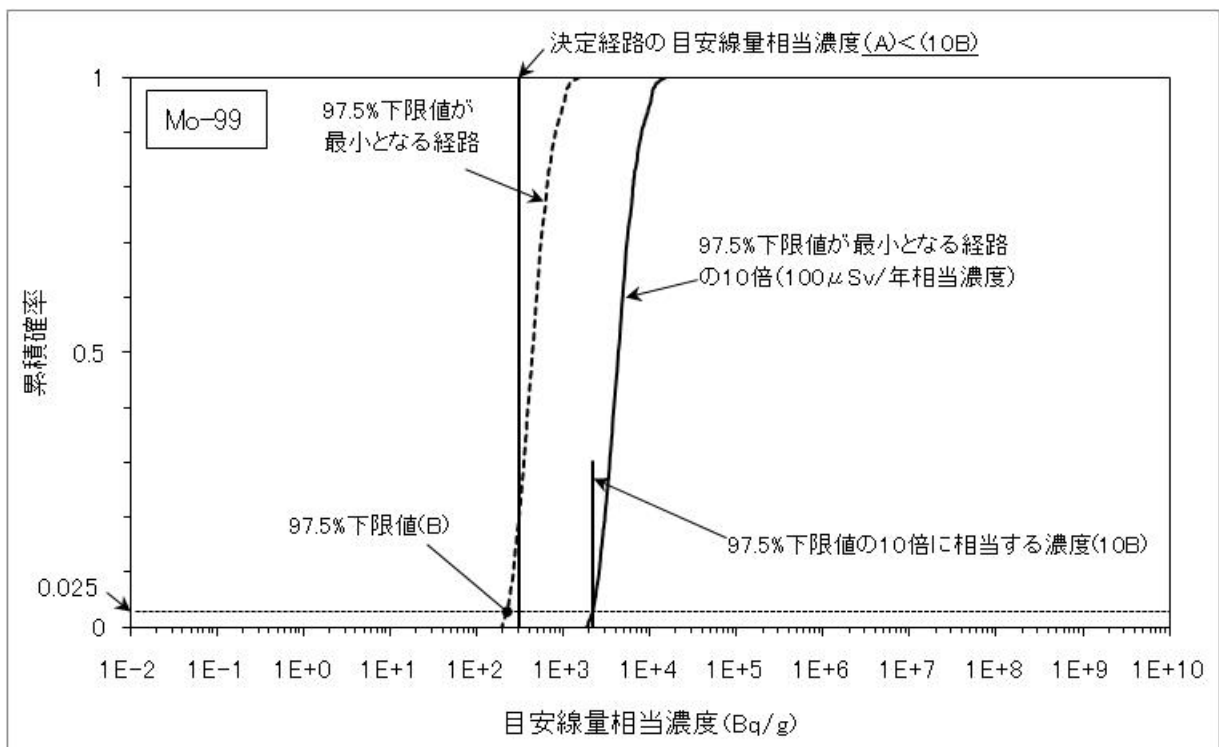


図 5.12 シナリオ妥当性評価結果 (Mo-99)

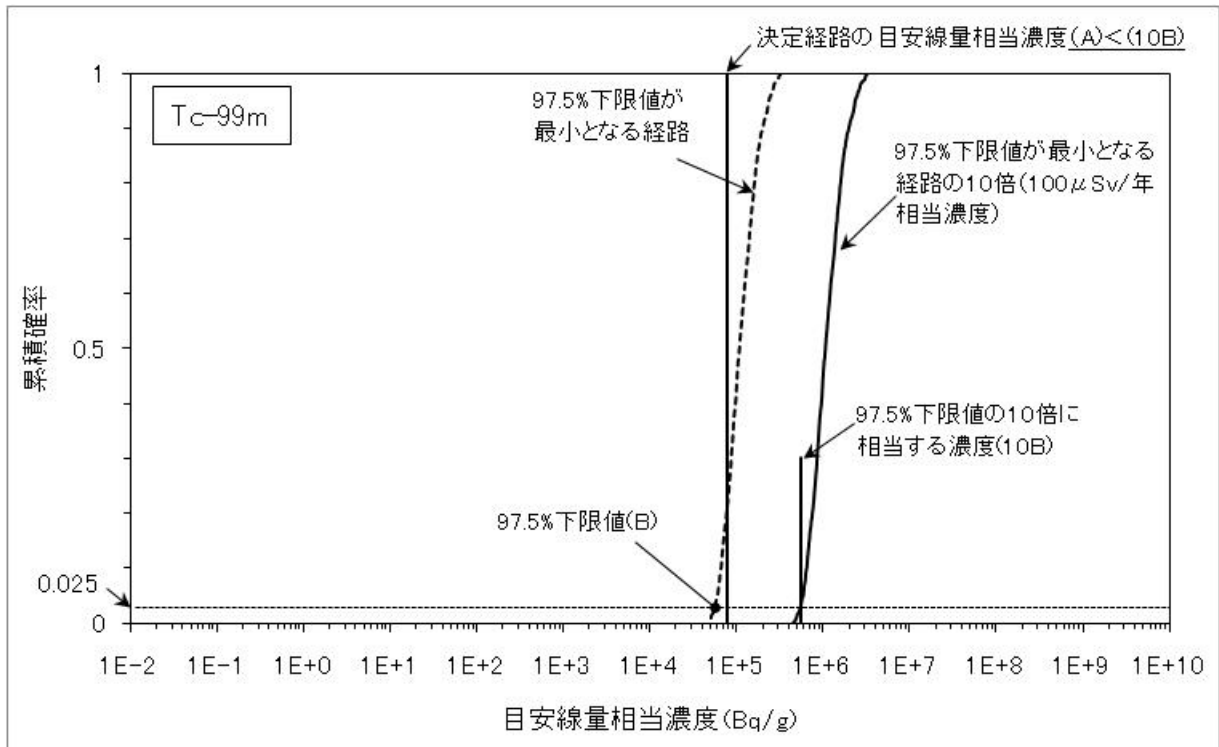


図 5.13 シナリオ妥当性評価結果 (Tc-99m)

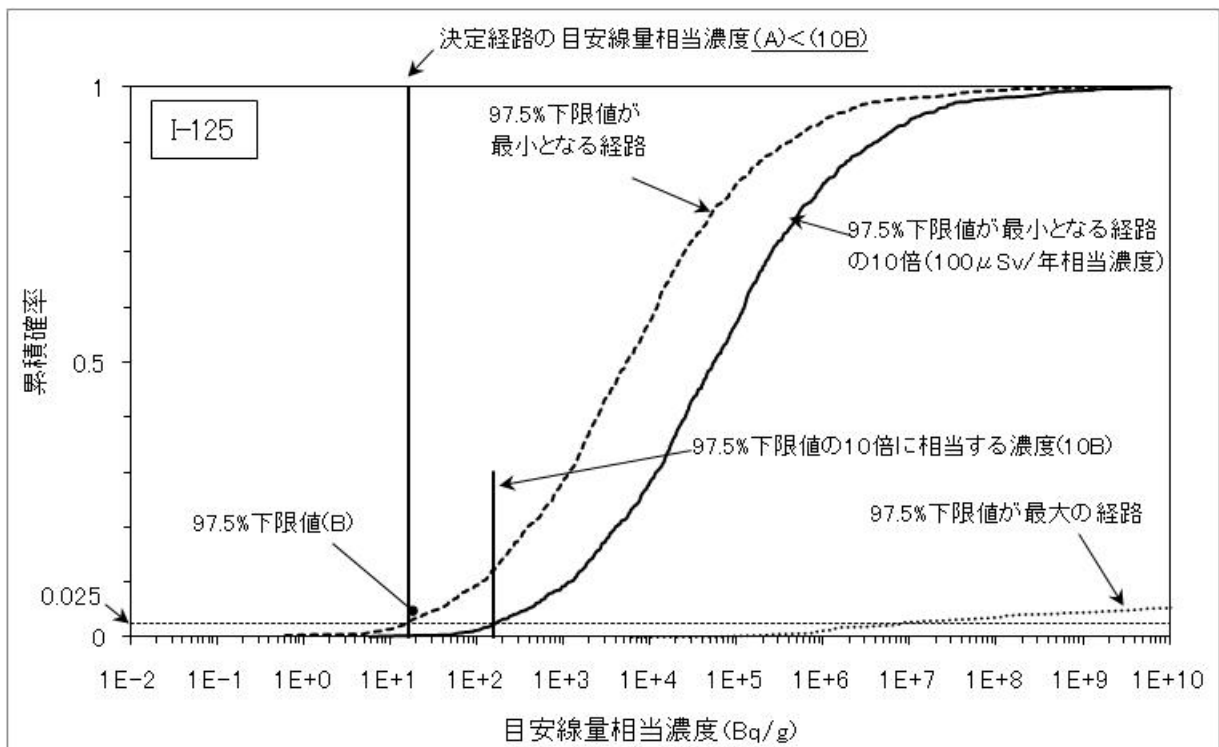


図 5.14 シナリオ妥当性評価結果 (I-125)

表 5.29 決定論的解析による試算結果と 97.5%下限値の比較

核種	決定論的解析による試算結果		97.5%下限値の最小値		確認 (A/B < 10)
	決定経路名	最小値 (Bq/g) (A)	97.5%下限値が最小 となる経路名	最小値 (Bq/g) (B)	
Na-22	再利用 (壁材-外部) (子ども)	0.10	操業 (埋立-外部)	0.075	○
Mn-54	操業 (埋立-外部)	0.37	操業 (埋立-外部)	0.25	○
Co-60	再利用 (壁材-外部) (子ども)	0.073	操業 (埋立-外部)	0.063	○
Sb-125	操業 (埋立-外部)	0.56	操業 (埋立-外部)	0.38	○
Cs-134	操業 (埋立-外部)	0.16	操業 (埋立-外部)	0.11	○
Eu-152	再利用 (壁材-外部) (子ども)	0.15	操業 (埋立-外部)	0.13	○
Eu-154	再利用 (壁材-外部) (子ども)	0.14	操業 (埋立-外部)	0.12	○

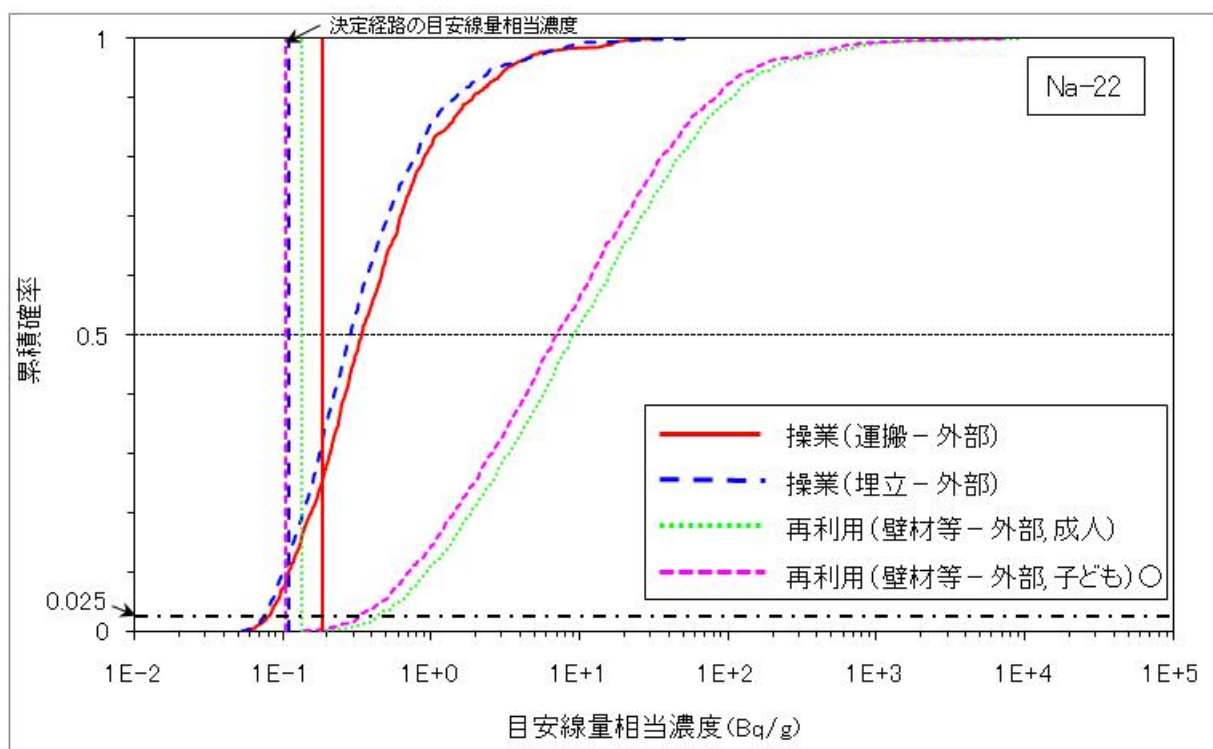


図 5.15 目安線量相当濃度の累積分布関数 (Na-22)

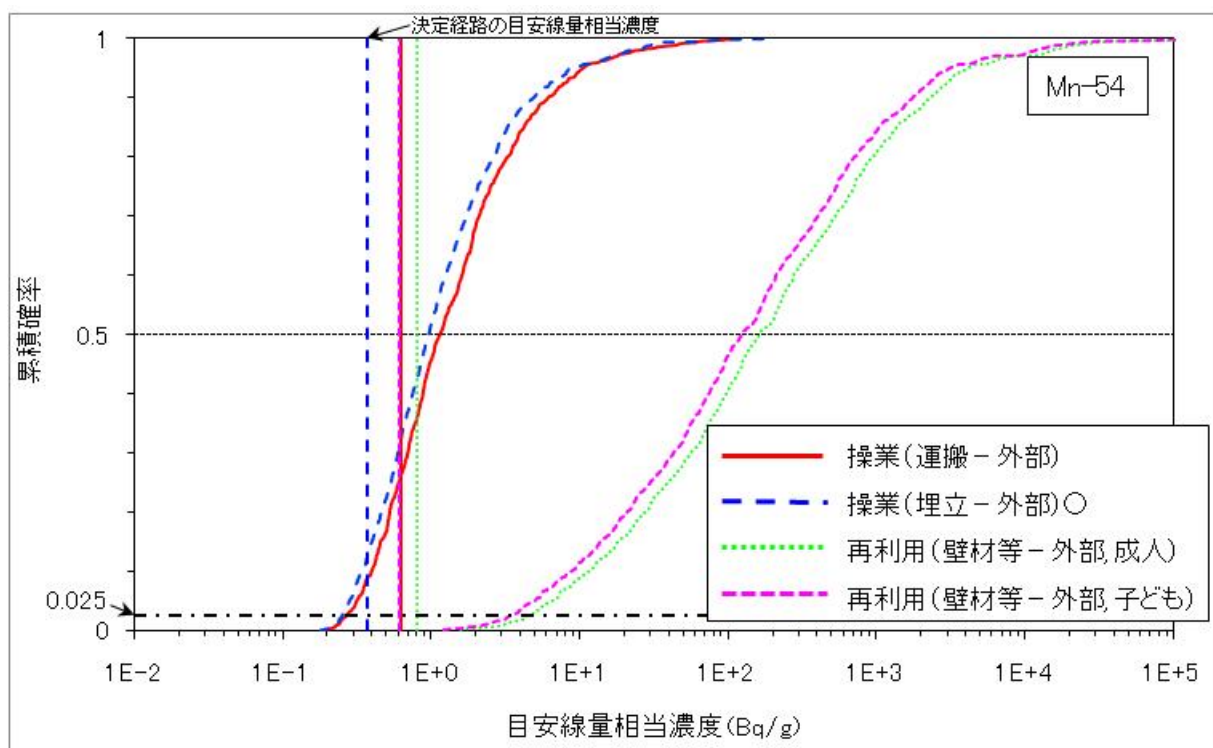


図 5.16 目安線量相当濃度の累積分布関数 (Mn-54)

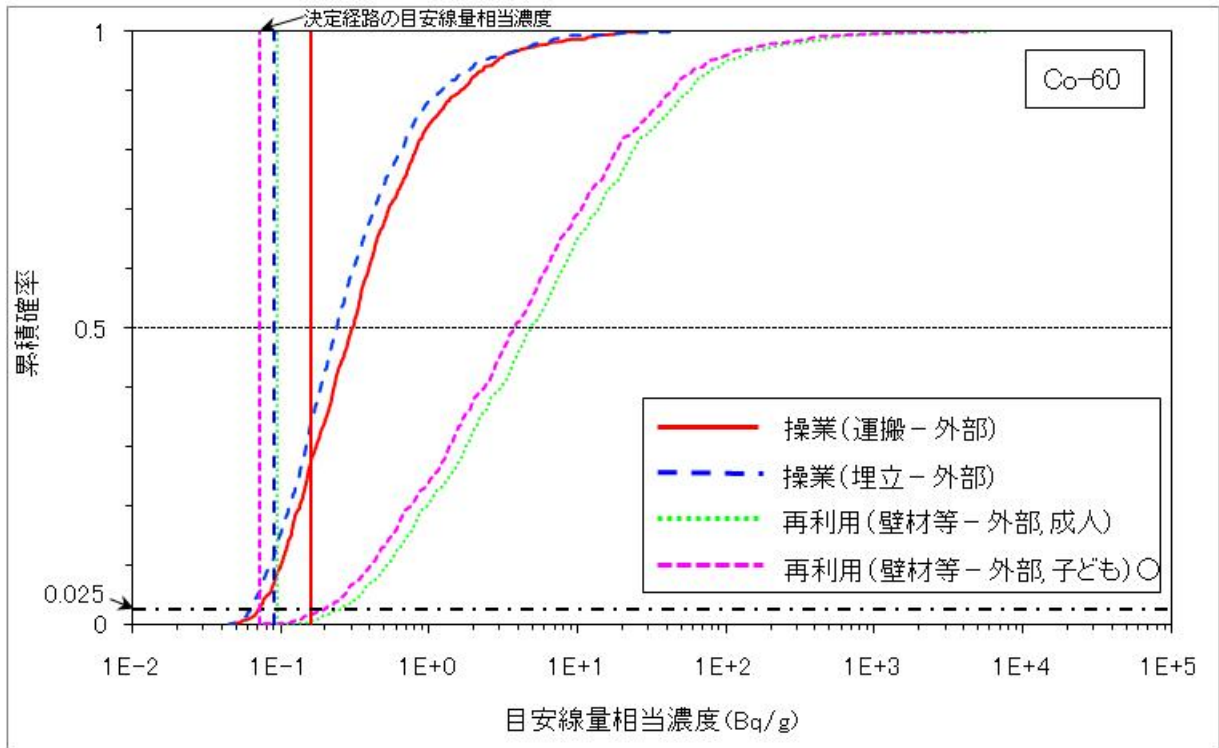


図 5.17 目安線量相当濃度の累積分布関数 (Co-60)

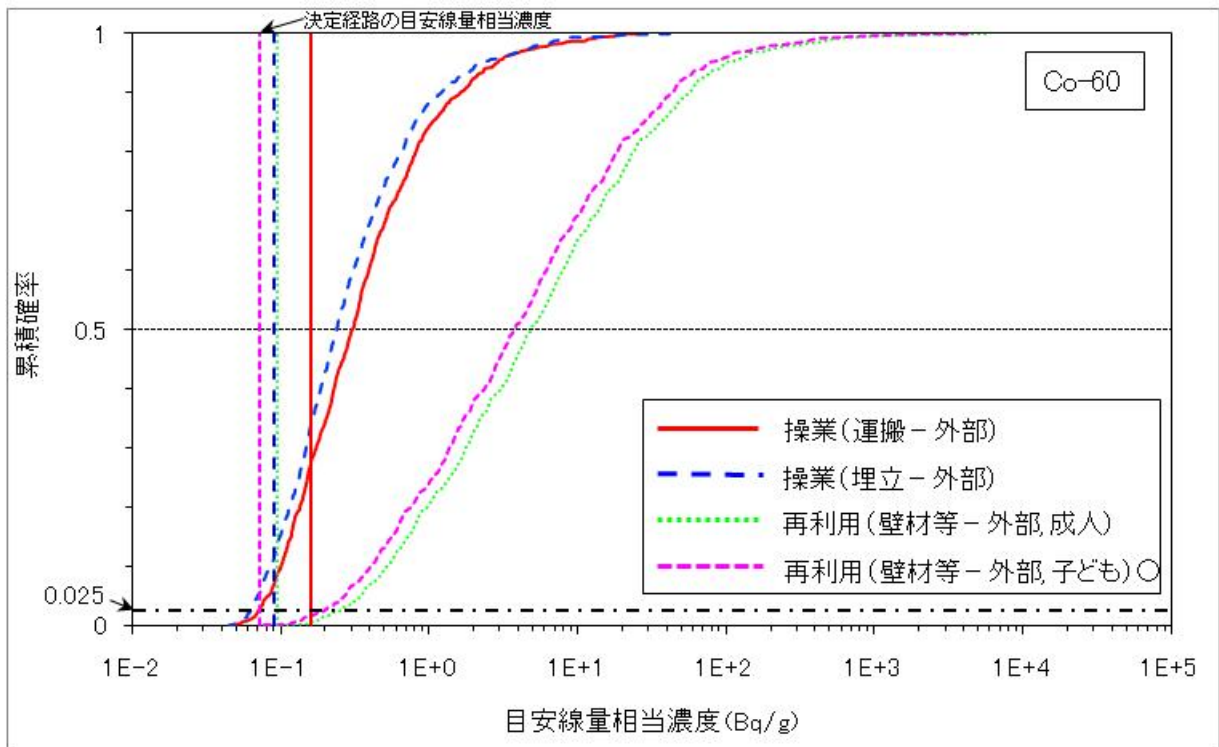


図 5.18 目安線量相当濃度の累積分布関数 (Sb-125)

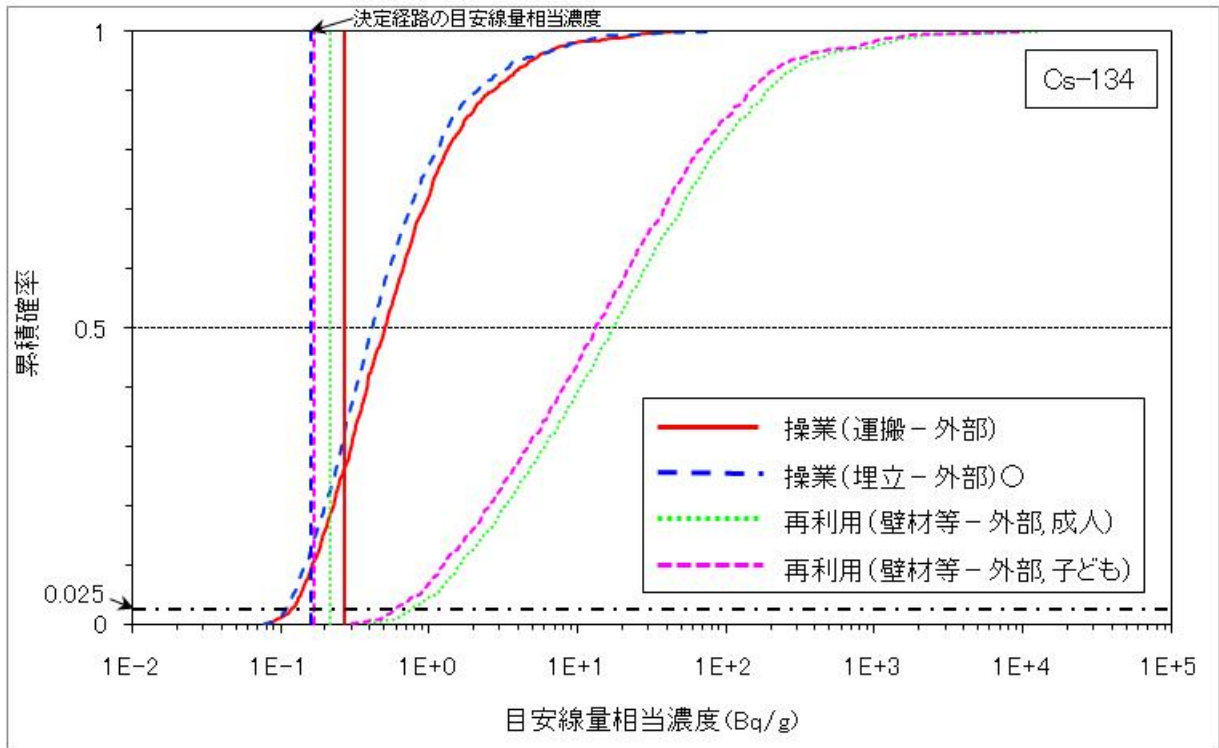


図 5.19 目安線量相当濃度の累積分布関数 (Cs-134)

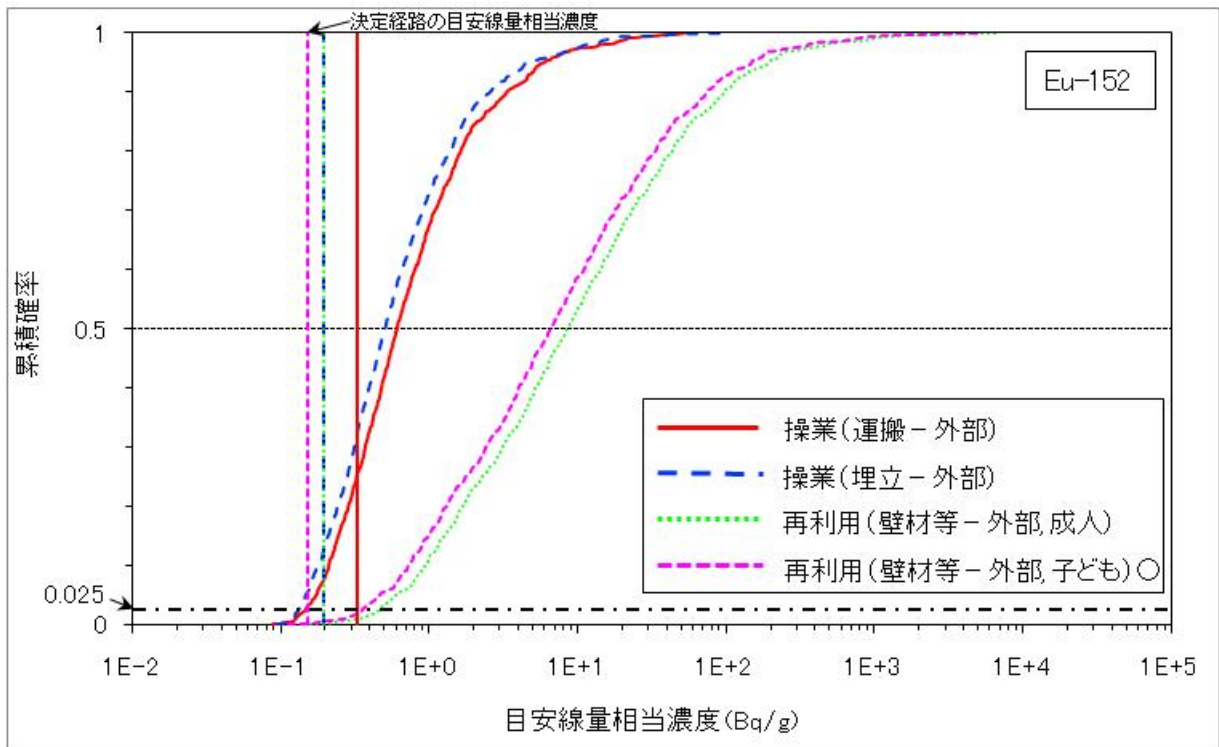


図 5.20 目安線量相当濃度の累積分布関数 (Eu-152)

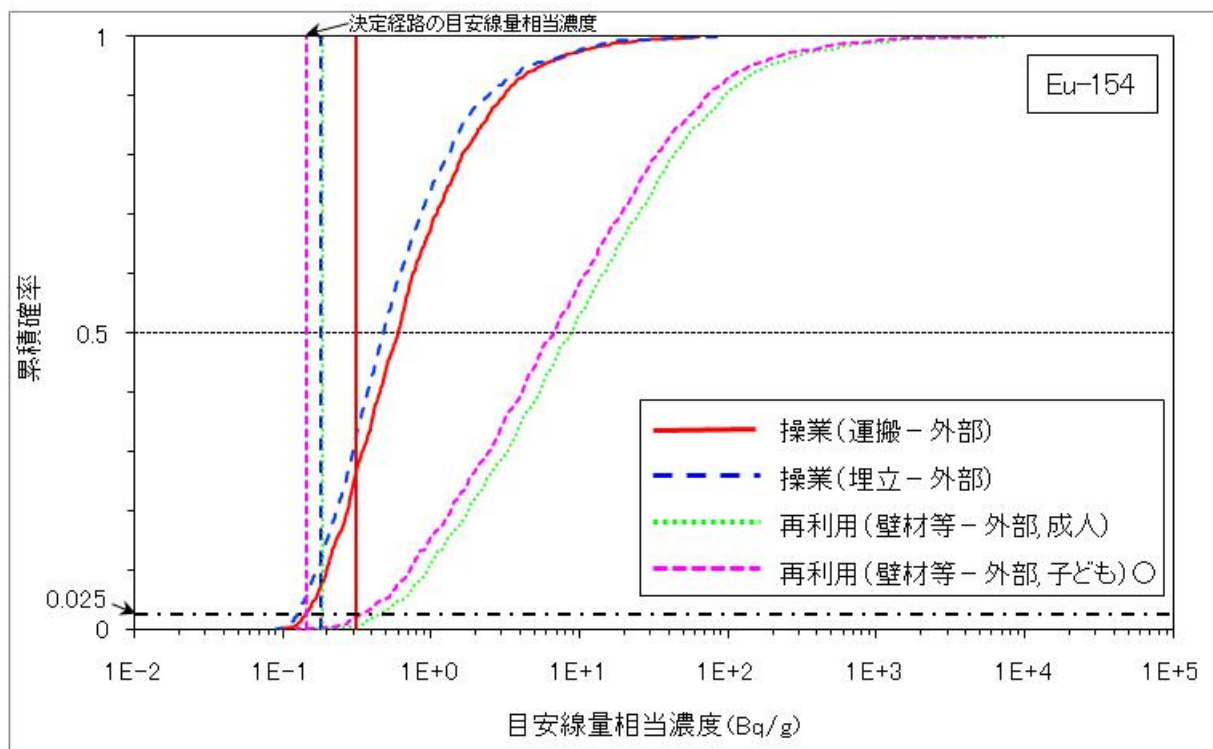


図 5.21 目安線量相当濃度の累積分布関数 (Eu-154)

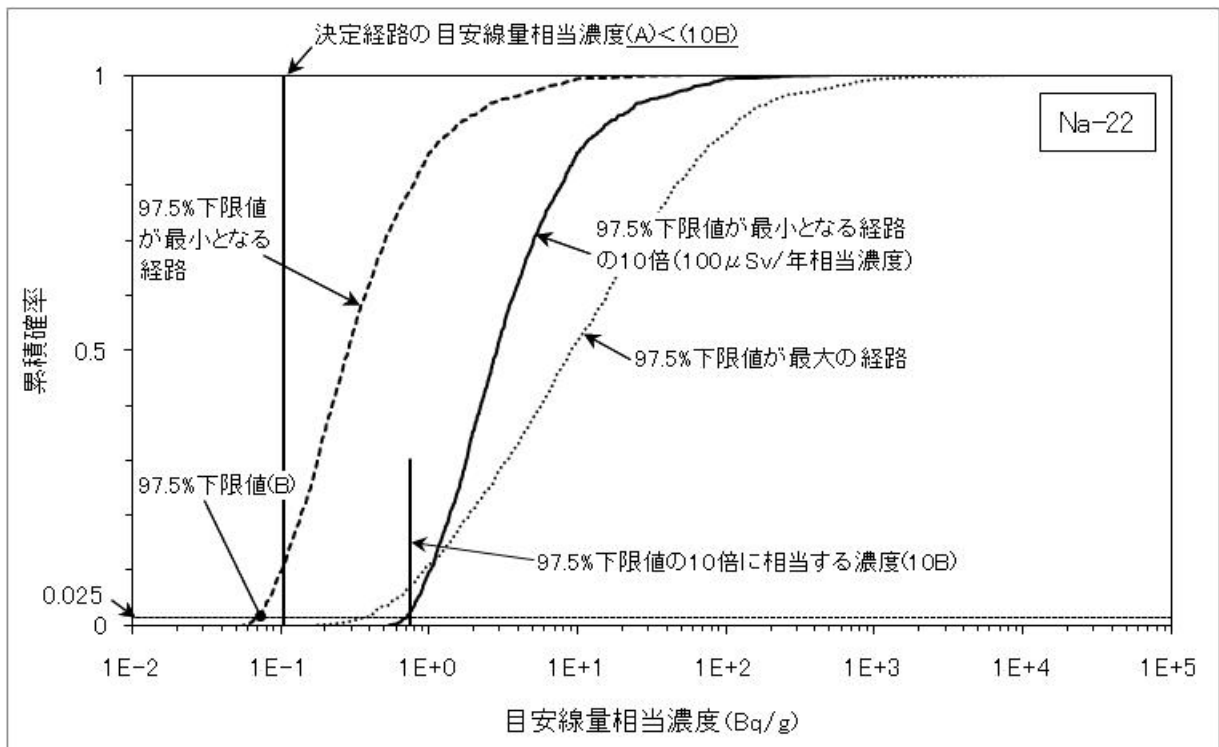


図 5.22 シナリオ妥当性評価結果 (Na-22)

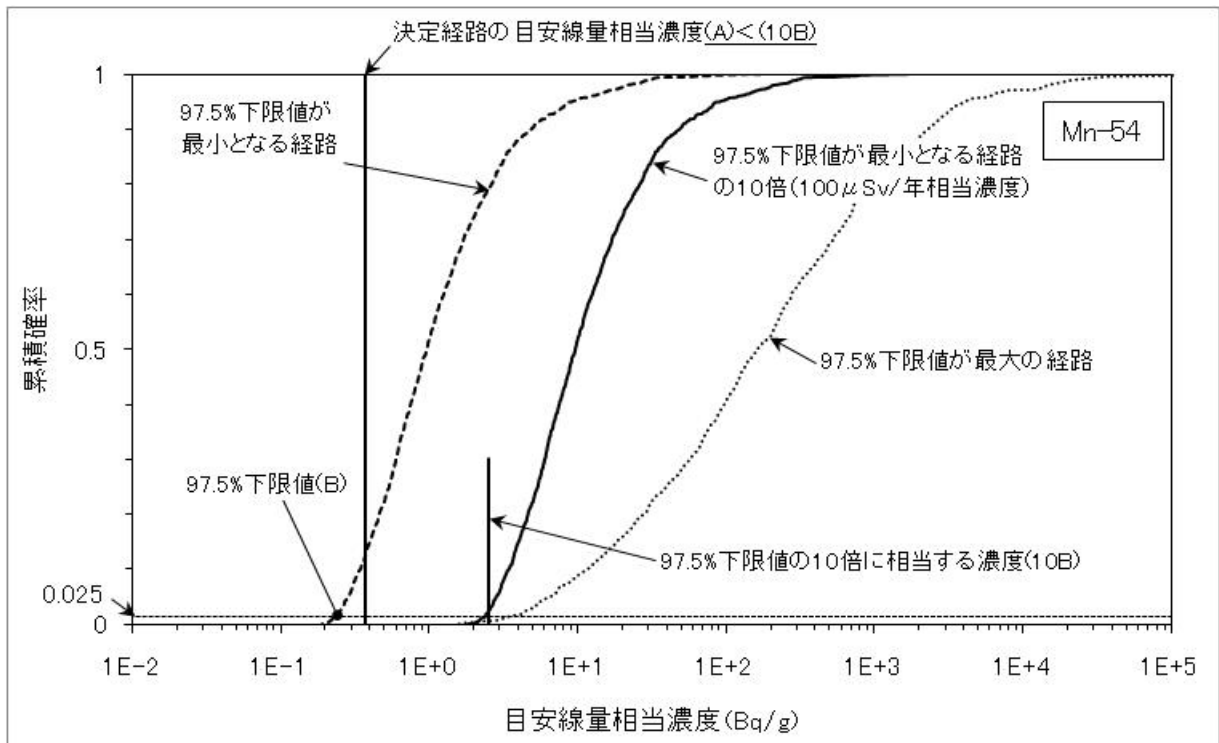


図 5.23 シナリオ妥当性評価結果 (Mn-54)

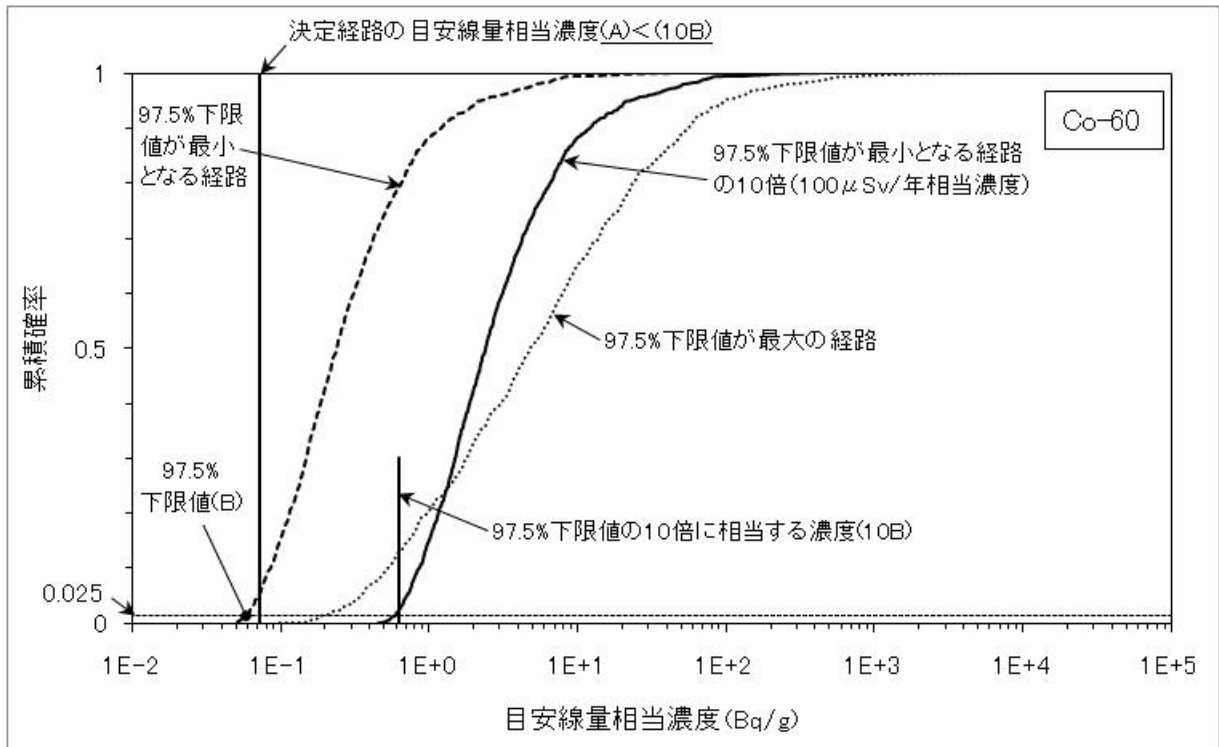


図 5.24 シナリオ妥当性評価結果 (Co-60)

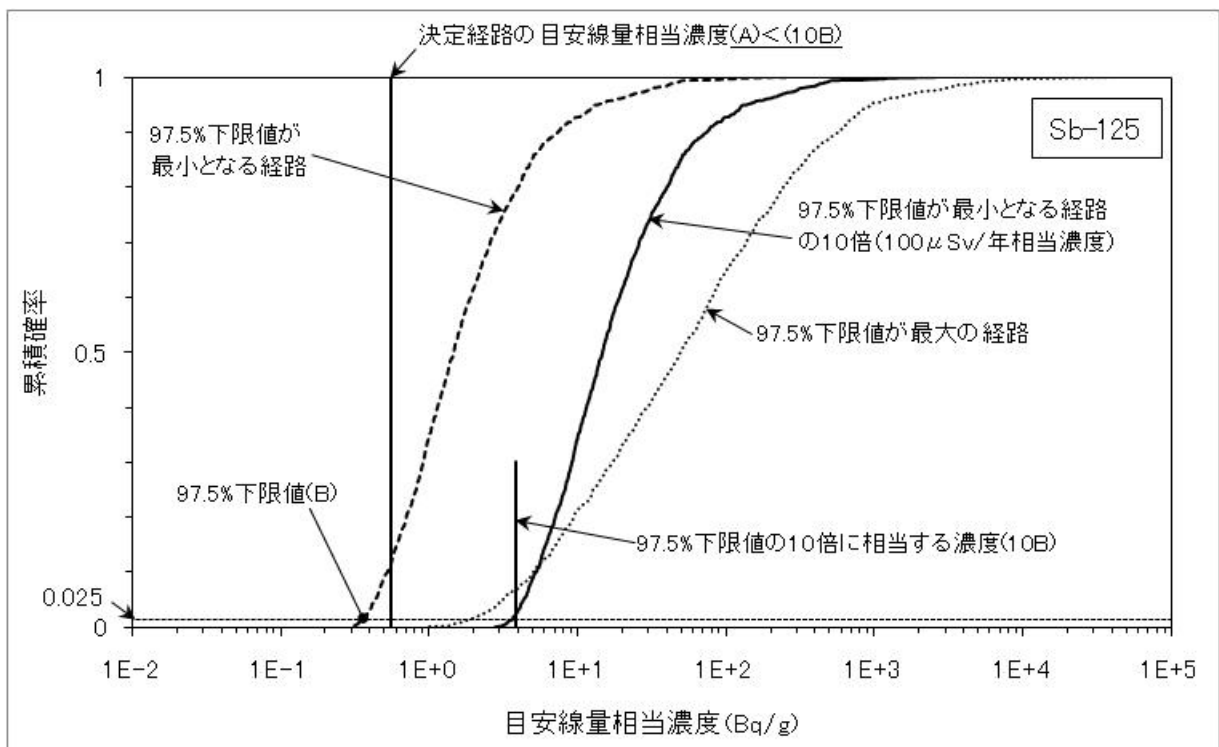


図 5.25 シナリオ妥当性評価結果 (Sb-125)

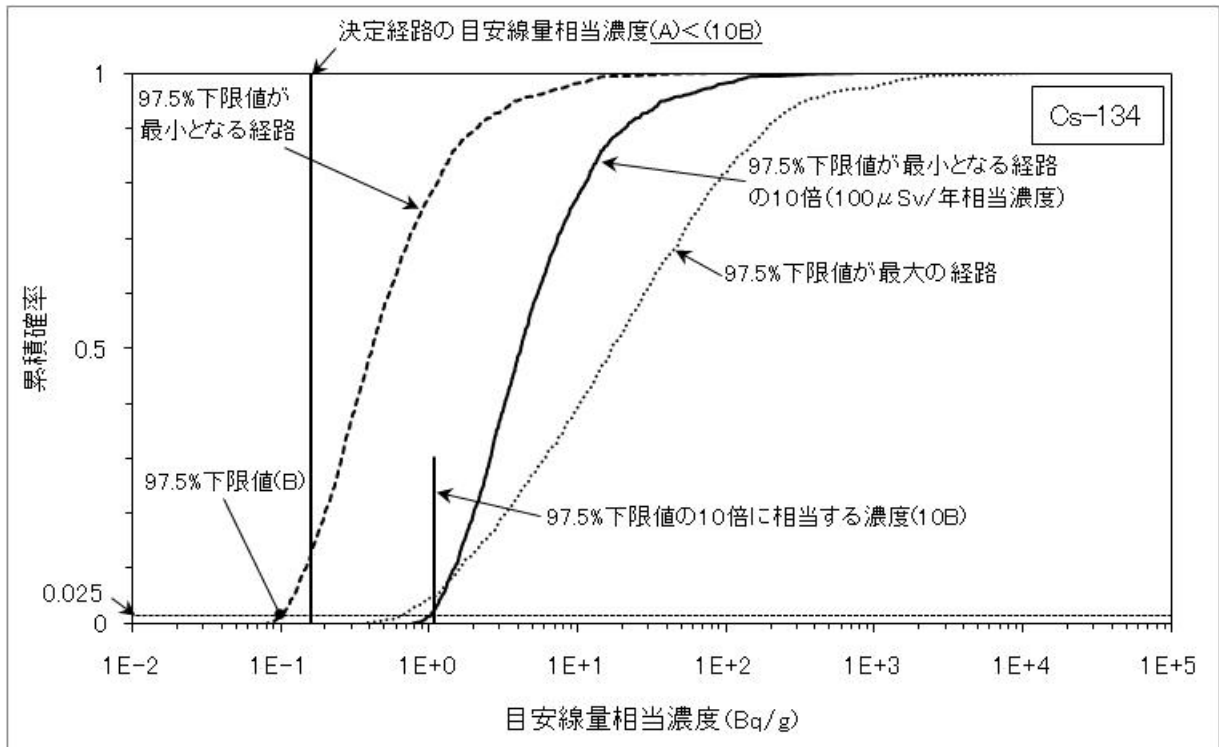


図 5.26 シナリオ妥当性評価結果 (Cs-134)

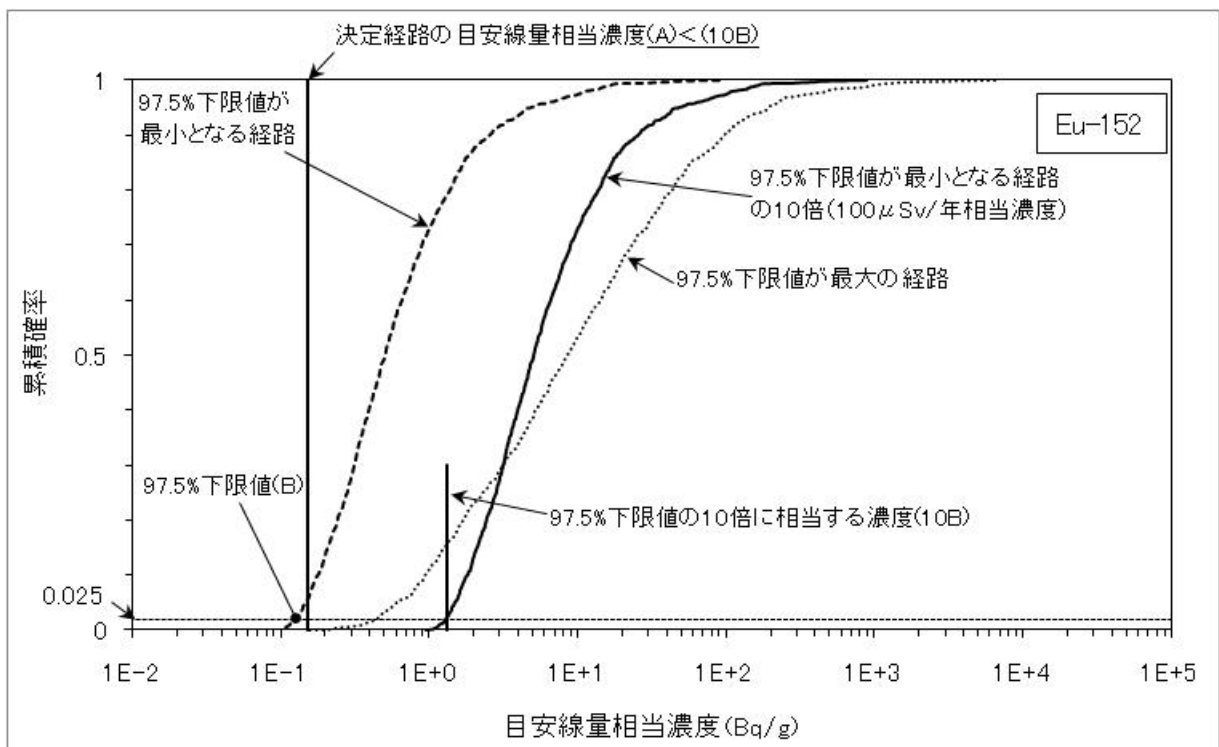


図 5.27 シナリオ妥当性評価結果 (Eu-152)

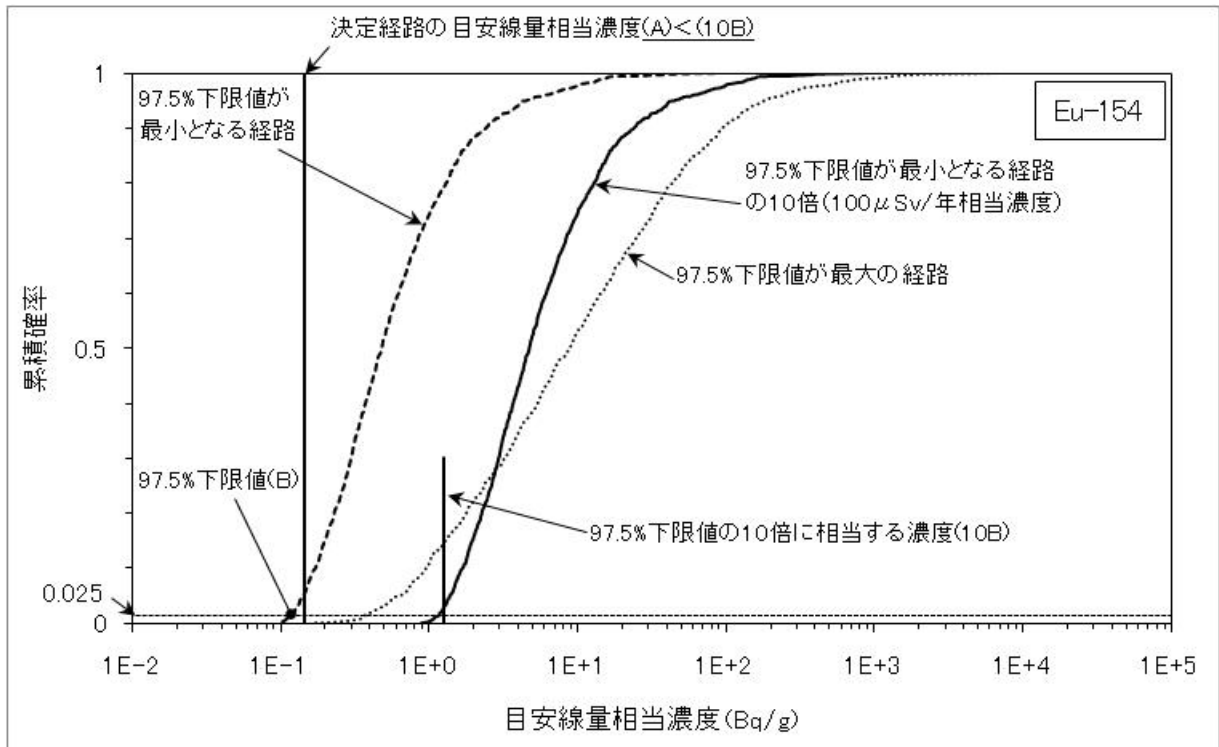


図 5.28 シナリオ妥当性評価結果 (Eu-154)